

اثرات بنزوآلفاپایرن و باکتری *Vibrio alginolyticus* بر ساختار بافتی اندام‌های ایمنی ماهی هامور معمولی

نجمه نوروزی^۱، نگین سلامات^{۲*}، غلام‌رضا اسکندری^۳، محمد موسوی^۴

- ۱- دانشجوی کارشناسی ارشد، گروه زیست دریا، دانشکده علوم دریایی و اقیانوسی، دانشگاه علوم و فنون دریایی خرمشهر، خرمشهر، پست الکترونیکی: norozi.najmeh@yahoo.com
- ۲- استادیار گروه زیست دریا، دانشکده علوم دریایی و اقیانوسی، دانشگاه علوم و فنون دریایی خرمشهر، خرمشهر، پست الکترونیکی: salamatnegin@yahoo.com
- ۳- استادیار موسسه تحقیقات شیلات ایران، پژوهشکده آبزی پروری جنوب کشور، اهواز، پست الکترونیکی: skandari.gh@yahoo.com
- ۴- دانشیار گروه شیلات، دانشکده منابع طبیعی، دانشگاه علوم و فنون دریایی خرمشهر، خرمشهر، پست الکترونیکی: mousavimohammad@gmail.com

تاریخ پذیرش: ۹۳/۲/۷

* نویسنده مسؤول

تاریخ دریافت: ۹۲/۸/۱۵

© نشریه علمی - پژوهشی اقیانوس‌شناسی ۱۳۹۳، تمامی حقوق این اثر متعلق به نشریه اقیانوس‌شناسی است.

چکیده

در تحقیق حاضر ۲۰۰ عدد ماهی هامور معمولی *Epinephelus coioides* در مهرماه ۱۳۹۰ از مرکز تحقیقات شیلات بندر امام خمینی (ره) (استان خوزستان) تهیه و به ۷ گروه تقسیم شدند: ۱- گروه شاهد، ۲- گروه حلال، ۳- گروهی از ماهیان که تنها باکتری *Vibrio alginolyticus* (Bac) را دریافت نمودند، ۴ و ۵- گروههایی که ابتدا غلظت‌های mg/kg ۲۰ و ۲۰۰ از بنزوآلفاپایرن (BaP) و پس از ۴۸ ساعت باکتری ویبریو را دریافت نمودند، ۶ و ۷- دو گروه دیگر نیز ۲۰ و ۲۰۰ mg/kg BaP را دریافت نمودند. در روزهای ۱، ۲، ۴، ۷، ۱۴ آزمایش نمونه‌های بافتی از راس کلیه و طحال ماهیان اخذ شد و جهت انجام مطالعات بافتی در محلول بافر فرمالین ثبت شدند. مقاطعی به ضخامت ۵ میکرومتر از نمونه‌ها تهیه و با هماتوکسیلین و اثوزین رنگ‌آمیزی شدند. نتایج حاکی از تغییرات بافتی شامل افزایش مراکز ملانوماکروفازی، مشاهده باکتری‌ها به صورت انفرادی، افزایش تراکم لنفوцитی و خونریزی در نمونه‌های طحال و راس کلیه همه تیمارها به ویژه در روزهای ۴ و ۷ بود.

کلمات کلیدی: بنزوآلفاپایرن، *Vibrio alginolyticus*، طحال، راس کلیه، هامور معمولی.

۱. مقدمه

ارتباط با حیات آبزیان و سلامت انسان‌ها داشته و انسان را به سمت تکثیر و پرورش مصنوعی آبزیان به ویژه ماهیان سوق داده است. از سویی تکثیر مصنوعی ماهیان، غنی‌سازی دریاها و پرورش ماهی در حوضچه‌ها و استخرها، با مسائل زیست محیطی جدید و تلفات زیاد ناشی از بیماری‌ها همراه بوده است. هم

محدودیت منابع آبی و استحصال از ذخایر آبزیان، آبدگی دریاها و اقیانوس‌ها در نتیجه پساب کارخانجات صنعتی، فاضلاب‌های بنادر و شهرها، همگی حکایت از عمق نگرانی در

محیط‌های آبی به طور گستره‌های پخش شده‌اند (Campanelli et al., 2008). این ترکیب به سرعت توسط موجوداتی که در معرض آن هستند جذب شده و می‌تواند به طور مستقیم از غشاء پلاسمایی انواع سلول‌ها بگذرد. این ترکیب در تمام محیط‌های ساحلی با حلالیت نسبت بالایی در آب وجود داشته و برای مهربانی بسیار سمی است و منجر به نکروز وسیع بافتی و تضعیف اینمی می‌شود (Suresh, 2009).

ماهی هامور معمولی *Epinephelus cooides* از ماهیان پیش ماده و یکی از گونه‌های مهم و تجاری خلیج فارس با ارزش غذایی زیاد بوده که از بازار پستدی خوبی در جنوب کشور برخوردار است. از آنجایی که مطالعات اندکی روی اثرات آلاینده‌های آبی بر مقاومت سامانه اینمی این ماهی در مقابل ایجاد *Vibrio alginolyticus* بیماری توسط باکتری فرست طلبی نظری *Vibrio alginolyticus* صورت گرفته است، لذا تحقیق حاضر با هدف بررسی اثرات مقابله بنزوآلفالپاپایرن (به عنوان یکی از مهمترین آلاینده‌های آبی که بنا به مطالعات قبلی صورت گرفته، از جمله PAH‌های موجود در خلیج فارس است) و باکتری *V. alginolyticus* بر ساختار بافتی اندام‌های اینمی (طحال و راس کلیه) ماهی هامور معمولی صورت گرفت.

۲. مواد و روش‌ها

۲۰۰ عدد ماهی هامور معمولی (*E. cooides*) (میانگین وزنی ۱۸۰±۷/۹ گرم و میانگین طولی ۲۰/۸±۰/۲ سانتی‌متر و همگن نابالغ) در مهر ماه ۱۳۹۰ از مرکز تحقیقات شیلات بندر امام خمینی (ره) (استان خوزستان) تهیه شد و پس از زیست‌سنگی، تا قبل از زمان آزمایش در تانک‌های ۶۰۰۰ لیتری حاوی آب دریایی فیلتر شده‌ای که توسط اشعه ماورای بنتش ضدغونی شده بود، نگهداری شدند. با شروع دوره آزمایش، ماهی‌ها به ۷ تانک ۳۰۰ لیتری که تا حجم ۲۰۰ لیتر با آب فیلتر شده و هوادهی شده دریا پر شده بود منتقل شدند، به طوری که ۲۰ عدد ماهی در هر تانک قرار داده شد. دوره سازگاری (آدابتاسیون) ۷ روز در نظر گرفته شد. در این دوره ماهیانی که نشانه‌های آشکاری از بیماری مانند بی‌حالی و شنای عجیب را نشان می‌دادند، از آزمایش حذف شدند.

میانگین دما ۲۶/۵ درجه سانتی‌گراد، pH=۷/۸ و شوری برابر با ۳۹ گرم بر لیتر بود که به طور روزانه کنترل می‌شدند. آب

اکنون بسیاری از کشورهای اصلی پرورش دهنده آبزیان به خصوص در شرق آسیا که بزرگ‌ترین تولیدکنندگان آن نیز در سطح جهان هستند) از بروز بیماری‌های آبزیان رنج می‌برند و این مشکل تاثیر عمیقی در جهت کاهش تولید آنها داشته است (Arunkumar et al., 2000).

در زمرة بیماری‌های ماهیان، شناخت و مبارزه با بیماری‌های باکتریایی را باید مورد توجه خاص قرار داد. بسیاری از پاتوژن‌های باکتریایی ماهی قادر به ادامه حیات در خارج از بدن ماهی بوده و تنها تعداد کمی از آنها به صورت انگل اجباری وجود دارند. حتی این انگل‌های اجباری نیز قادرند به مدت قابل ملاحظه‌ای در درون بافت‌های میزان زندگی کنند بدون اینکه اثرات زیان باری برای میزان داشته باشند. معمولاً تنها به دنبال تغییر قابل توجه در فیزیولوژی میزان بیماری‌ای ظهور می‌کنند. بسیاری از عوامل باکتریایی به عنوان پاتوژن‌های فرست طلب شناخته شده‌اند که تنها در موجودات آبری دچار نش، *Vibrio* منجر به بیماری می‌شوند (سلطانی، ۱۳۷۵). باکتری *Vibrio alginolyticus* باکتری فرست طلب بوده که به عنوان بخشی از فلور میکروبی نرمال محیط‌های دریایی تلقی می‌شود. با این حال تحقیقات نشان داده‌اند که این باکتری در ماهیانی که در شرایط پر نش زیست می‌کنند، قادر به ایجاد بیماری ویروسی ویروسی است (Arunkumar et al., 2000).

آلودگی‌ها با تضعیف سامانه اینمی موجود، به عنوان یکی از مهمترین عوامل ایجاد کننده شرایط مناسب برای پاتوژن‌های فرست طلب مطرح هستند (Osman et al., 2009). Polycyclic aromatic hydrocarbons (PAHs) از جمله مهمترین آلاینده‌هایی هستند که به جهت پایداری و مقاومت در زیست‌بوم‌های دریایی و دارا بودن اثرات شدید و طولانی مدت بر آبزیان بیشترین نگرانی را به خود اختصاص داده‌اند (دیبری، ۱۳۷۹). مطالعاتی که با هدف ارزیابی خطرات ایمنوتوكسیک این آلاینده‌ها صورت گرفته، نشان داده‌اند که تضعیف پاسخ‌های اینمی ناشی از این زنوبیوتیک‌ها به طور عمده بر مقاومت موجودات نسبت به پاتوژن‌ها تاثیر می‌گذارند (Prosser et al., 2011).

بنزوآلفالپاپایرن (BaP) یکی از مهمترین ترکیبات PAH محسوب می‌شود که از سوختن ناقص مواد آلی مثل گازوئیل، زباله‌ها یا هر ماده حیوانی یا گیاهی دیگر به وجود می‌آید. بنزوآلفالپاپایرن دارای اثرات موتازنیک، کارسینوژنیک و ایمنوتوكسیک بوده و در

فعالیت زیاد یا کاهش اشتها) بررسی و کنترل شد (Prosser et al., 2011). غذادهی در طول دوره آزمایش صورت نگرفت.

تانک‌ها هر دو روز یکبار از طریق کف تانک‌ها و با عمل سیفون کردن تعویض شد (موحدی نیا و همکاران، ۱۳۹۱).

۲-۲. اخذ نمونه‌های بافتی از ماهیان

نمونه‌های بافتی به ابعاد ۵/۰ سانتی‌متر از راس کلیه و طحال در روزهای ۱، ۲، ۴، ۷ و ۱۴ جهت مطالعه ضایعات پاتولوژیک احتمالی ایجاد شده در این بافت‌ها و وسعت این ضایعات در تیمارهای مختلف، جدا شد و در محلول ثبوت بافر فرمالین ده درصد قرار داده شد. نمونه‌ها سپس به آزمایشگاه تحقیقات بافت‌شناسی دانشگاه علوم و فنون دریایی خرمشهر منتقل گردید.

۳-۲. مطالعات هیستوپاتولوژیک

در آزمایشگاه بافت‌شناسی نمونه‌های بافتی از محلول فرمالین خارج و جهت انجام مراحل معمول پاساز بافتی به مدت ۲۱ ساعت به دستگاه تمام اتوماتیک هیستوکینت مدل RX-11B, Tissue tek japan, rotary انتقال داده شد. سپس با استفاده از دستگاه میکروتوم (مدل LEICA-RM2245) برش‌هایی به ضخامت ۵ تا ۶ میکرومتر از هر یک از نمونه‌ها تهیه و جهت مطالعه با میکروسکوپ نوری، با استفاده از رنگ آمیزی معمولی هماتوکسیلین و ائوزین (H&E) رنگ آمیزی شدند. مقاطع بافتی آماده شده با استفاده از میکروسکوپ نوری Olympus و با بزرگنمایی‌های مختلف بررسی و تصاویر مناسبی توسط دوربین Dinolite Digital Microscope مجهر به نرم افزار Dino capture تهیه شد.

۳. نتایج

۳-۱. تغییرات هیستوپاتولوژیک راس کلیه

در نمونه‌های راس کلیه اخذ شده از گروه‌های شاهد و حلال ضایعه هیستوپاتولوژیکی مشاهده نشد و این بافت دارای ساختار طبیعی بود. ساختار راس کلیه متشکل از بافت لنفاوی و سلول‌های خونی بالغ و نابالغ بود (شکل ۱). در دومین روز آزمایش در نمونه‌های راس کلیه در همه گروه‌های آزمایشی آسیب هیستوپاتولوژیکی دیده نشد و ظاهر بافت در همه گروه‌ها کاملاً طبیعی و قادر تفاوت با نمونه‌های کنترل بود.

۱-۱. طراحی آزمایش و تیماریندی

جهت انجام این پروژه ۷ تانک حاوی ۲۰ عدد ماهی هامور معمولی به طور تصادفی به ۷ تیمار تقسیم شدند:

۱) ماهیان تانک شماره ۱ هیچ تزریقی دریافت نکرده و به عنوان ماهیان شاهد در نظر گرفته شدند.

۲) به ماهیان تانک شماره ۲ فقط روغن نارگیل تزریق شد. این گروه جهت ارزیابی اثرات احتمالی روغن نارگیل مورد بررسی قرار گرفتند.

۳) به ماهیان تانک شماره ۳، فقط باکتری *V. alginolyticus* با غلظت 10^4 cfu/ml تزریق شد.

۴) به ماهیان تانک شماره ۴، تنها mg/kg ۲۰ بنزوآلفاپایرن (غلظت پایین) تزریق شد.

۵) ماهیان تانک شماره ۵ تنها بنزوآلفاپایرن با غلظت mg/kg ۲۰۰ (غلظت بالا) را دریافت نمودند.

۶) به ماهیان تانک شماره ۶، ترکیبی از *V. alginolyticus* (با غلظت 10^4 cfu/ml) و بنزوآلفاپایرن (با غلظت 20 mg/kg) تزریق شد.

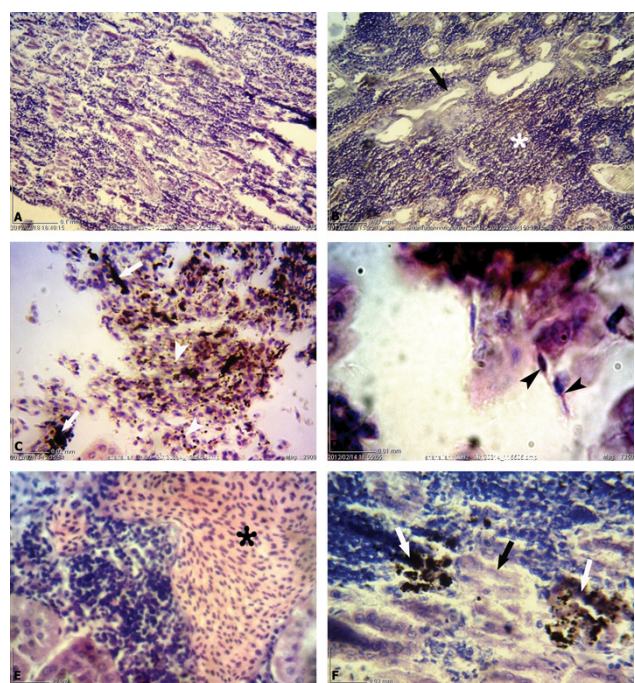
۷) ماهیان تانک شماره ۷، نیز ترکیبی از *V. alginolyticus* (با غلظت 10^4 cfu/ml) و بنزوآلفاپایرن (با غلظت 200 mg/kg) (با *Vibrio+high BaP*) را دریافت نمودند.

همه تزریق‌ها به صورت درون صفاقی انجام شدند. به این صورت که بعد از بیهوش کردن ماهیان (با ماده بیهوشی ۲-فنوکسی اتانول) بدن آنها با یک پارچه تمیز به آرامی خشک شده و سپس تزریق انجام گرفت. بنزوآلفاپایرن به صورت محلول در ml/kg ۱ روغن نارگیل به ماهیان تزریق شد. باکتری‌ها پیش از تزریق در بافر فسفات به حجم مورد نیاز رسانده شده و سوسپانسیون حاصله ۴۸ ساعت پس از تزریق بنزوآلفاپایرن به صورت درون صفاقی به ماهیان تزریق شد. طول دوره آزمایش از زمان تزریق باکتری تا مدت ۱۴ روز در نظر گرفته شد، زیرا بنا به گزارش‌های این دوره زمانی برای پیشرفت بیماری ویبریوزیس کافی است. در طی این ۱۴ روز، وضعیت زنده ماندن و مرگ و میر ماهی‌ها کنترل گردید و هر تغییر غیرطبیعی در فاکتورهای وضعیتی یا رفتاری ماهی (مثل شناخت غیرنرمال و بی هدف،

باکتری‌های منفرد در سراسر بافت راس کلیه تیمار باکتری در این روز مشاهده گردید (شکل ۱). وسعت ضایعات در تیمارهای ترکیبی به ویژه تیمار *Vibrio+high BaP* بیشتر از سایر تیمارها بود به طوری که به هم ریختگی بافت شدیدی در آنها مشاهده شد (شکل ۱).

در روز چهاردهم، ساختار بافتی راس کلیه ماهیان تیمار شده با *BaP* نسبتاً طبیعی بود و تنها خونریزی اندکی در تیمار *BaP ۲۰۰ mg/kg* گزارش شد (شکل ۱). در راس کلیه تیمار باکتری و تیمارهای ترکیبی نیز در این روز ضایعات اندکی نظیر پرخونی جزئی مشاهده گردید (شکل ۱). در مجموع در تمامی روزهای نمونه برداری تنوع و وسعت ضایعات مشاهده شده تابع الگوی زیر بود:

Vibrio+high BaP > *Vibrio+low BaP* > *BaP ۲۰۰ mg/kg* > *BaP ۲۰ mg/kg*



شکل ۱: تصاویر میکروسکوپ نوری ساختار بافتی طبیعی (A) و تغییرات بافتی راس کلیه ماهی هامور معمولی (B, C, D, E, F). (B): تراکم لنفوسيتی (ستاره سفید)، دژناسیون اپتلیوم لوله‌های کلیوی (پیکان سیاه)، مراکز ملانوماکروفازی (پیکان سفید)، سلول‌های خونی تخریب شده (سر پیکان سفید)، باکتری درون بافت راس کلیه (سر پیکان سیاه)، خونریزی (ستاره سیاه) (H&E; $\times 725$). (A, H&E; $\times 725$) (C, D, H&E; $\times 2900$) (E, F, H&E; $\times 2900$)

۳-۲. تغییرات هیستوپاتولوژیک طحال

در نمونه‌های طحال اخذ شده از ماهیان شاهد و حلال ضایعه هیستوپاتولوژیکی مشاهده نشد و طحال دارای ساختار طبیعی بود. در این نمونه‌ها، کپسول، پولپ‌های قرمز و سفید و عروق خونی به وضوح قابل مشاهده بودند (شکل ۲). در نمونه‌های طحالی اخذ شده از تمام تیمارها در دومین روز نمونه‌برداری نیز آسیب هیستوپاتولوژیکی قابل توجهی مشاهده نشد. تنها خونریزی جزئی در نمونه‌های طحال تیمارهای ترکیبی مشاهده گردید (شکل ۲). در روز چهارم ضایعات هیستوپاتولوژیک شامل خونریزی، افزایش تجمعات ملانوماکروفازی و تراکم لنفوسيتی در تیمارهای *BaP* ضایعات مشاهده گردید که وسعت عوارض در تیمار *BaP ۲۰۰ mg/kg*, *BaP ۲۰ mg/kg* بیش از تیمار (شکل ۲).

در روز هفتم در تیمارهای *BaP*, ضایعات وسیع‌تری نسبت به روز چهارم دیده شد که شامل افزایش قابل توجهی در وسعت پولپ‌های سفید در مقایسه با پولپ‌های قرمز طحال و مراکز ملانوماکروفازی بود. در این روز افزایش مراکز ملانوماکروفازی، از بین رفتگی سازمان بافتی، خونریزی، افزایش تراکم سلول‌های ایمنی و افزایش تجمعات هموسیدرین در بافت طحال تیمار باکتری گزارش گردید (شکل ۲). در گروه‌های ترکیبی در روز هفتم ضایعات نسبت به روز دوم و

آسیب‌های بافتی ایجاد شده در ماهیان تیمار شده با *BaP* در روز چهارم شامل خونریزی، سلول‌های خونی تخریب شده، افزایش مراکز ملانوماکروفازی، افزایش تراکم لنفوسيت‌ها، دژناسیون سلولی لوله‌های کلیوی موجود در راس کلیه بود. اما وسعت این ضایعات در تیمار *BaP ۲۰۰ mg/kg*, *BaP ۲۰ mg/kg* بیش از تیمار ۲۰ بود (شکل ۱). اگرچه در این روز راس کلیه تیمار باکتری دارای ساختار بافتی نسبتاً طبیعی بود، ولی خونریزی و مراکز ملانوماکروفازی در راس کلیه تیمارهای ترکیبی (*Vibrio+low BaP*) و *Vibrio+high BaP* ثبت گردید که شدت این ضایعات در تیمار

Vibrio+high BaP بیش از تیمار دیگر بود (شکل ۱). نمونه‌برداری در روز هفتم در راس کلیه تیمارهای *BaP* خونریزی، سلول‌های خونی تخریب شده و افزایش قابل توجه وسعت تراکم لنفوسيتی گزارش گردید که شدت این ضایعات در تیمار *BaP ۲۰۰ mg/kg*, *BaP ۲۰ mg/kg* بیش از تیمار (شکل ۱). همچنین ضایعاتی از قبیل خونریزی، افزایش قابل ملاحظه تجمعات لنفوئیدی، افزایش مراکز ملانوماکروفازی، گلوبول‌های قرمز تخریب شده، کلینی‌های کوچکی از باکتری و یا

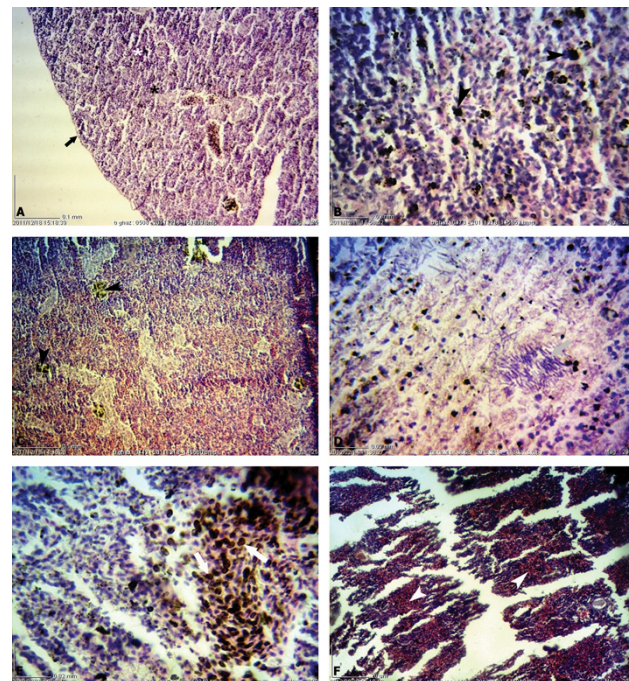
۴. بحث و نتیجه‌گیری

راس کلیه در ماهیان اندام لنفوئیدی (لنفاوی) و هماتوپویتیک اصلی بوده که با در برداشتن لنفوسيت‌ها، در تولید آنتی بادی نیز دخالت دارد. نقش راس کلیه به عنوان مکان اصلی تولید سلول‌های اریتروئیدی، لنفوئیدی و میلوبوئیدی ثابت شده است (Reynaud and Deschaux, 2006). طحال از اندام‌های ایمنی است که در ماهیان استخوانی دارای وظایفی از قبیل خون‌سازی، به دام انداختن آنتی‌زن‌ها، تسهیل تحریک و تکثیر لنفوسيت‌ها است. این اندام یکی از بافت‌های هدف پاتوزن‌های عفونی و آلاینده‌ها است که در نتیجه مواجهه با سوم عفونی و غیرعفونی چهار تغییراتی در ساختار بافتی و عملکرد فیزیولوژیک می‌شود (Aguis and Roberts, 2003).

در روزهای نخستین آزمایش (روزهای اول و دوم نمونه‌برداری) ضایعات پاتولوژیکی در طحال و راس کلیه در نتیجه القاء BaP، باکتری *V. alginolyticus* و ترکیبی از این دو تنشور مشاهده نشد و هر دو اندام دارای ساختار طبیعی بودند. عموماً ساختار بافتی اندام‌ها پس از گذشت مدتی از القاء آلاینده‌ها یا عوامل عفونی متاثر می‌شوند (Anderson and Zeeman, 1995). باکتری پس از گذشت یک دوره ۲ تا ۳ روزه فعال شده و منجر به تغییر عملکرد فیزیولوژیک اندام‌ها و ساختار بافتی آنها می‌شوند. به همین دلیل در روزهای اول در ماهیان تیمار شده با باکتری *V. alginolyticus* ضایعات بافتی مشاهده نشد. از طرفی در ماهیان تیمار شده با BaP نیز تغییرات بافتی در روزهای نخستین مشاهده نگردید، چرا که تغییر ساختار بافتی اندام‌ها آخرین پاسخ به القاء تنشورها است (Anderson and Zeeman, 1995) و BaP ابتدا منجر به تغییر شرایط فیزیولوژیک بدن شده تا جایی که به تدریج این تغییرات به ایجاد ضایعات سلولی و بافتی منتهی می‌شوند.

در مطالعه حاضر آسیب‌های پاتولوژیک وارد شده به بافت‌ها در ماهیان تیمار شده با غلاظت‌های مختلف BaP پس از روز چهارم کاهش یافته و تا روز ۱۴ ضایعه‌ای در هیچ یک از بافت‌های مورد مطالعه در این تیمارها مشاهده نشد. *Aas* و *Gadus morhua* (۲۰۰۰)، در مطالعه ماهی آتلانتیک کاد (Hemkaran)، بیشینه تجمع PAH‌ها را در روز چهارم مشاهده نمودند و پس از آن میزان PAH‌ها رو به کاهش گذارد. این محققین عنوان نمودند که دلیل اصلی کاهش اثرات اغلب PAH‌ها

چهارم افزایش یافته بودند. در این روز در بافت طحال تیمار *Vibrio+low BaP* به ویژه درون عروق خونی کلینی‌های باکتری قابل رویت بودند (شکل ۲).



شکل ۲: تصاویر میکروسکوپ نوری ساختار بافتی طبیعی (A) و تغییرات بافتی طحال ماهی هامور معمولی (B, C, D, E, F). (B): پولپ قرمز (ستاره سفید)، پولپ سفید (ستاره سیاه)، کپسول طحال (پیکان سیاه)، افزایش مرکز ملانوماکروفازی (سر پیکان سیاه)، کلینی باکتری درون بافت طحال (پیکان خاکستری)، سلول‌های خونی تخریب شده (پیکان سفید)، خونریزی (سر پیکان سفید). (C, D, E, F): H&E; x725. (A): H&E; x2900.

در تیمار *Vibrio+high BaP* در روز هفتم ضایعات وسیع‌تری در مقایسه با سایر تیمارها شامل افزایش قابل توجه مراکز ملانوماکروفازی، تراکم قابل ملاحظه تجمعات لنفوئیدی، از بین رفتن یکپارچگی بافت، خونریزی و افزایش گلوبول‌های قرمز شکسته شده گزارش شد (شکل ۲). بافت طحال تیمارهای BaP در روز چهاردهم دارای ساختار نسبتاً طبیعی بود، تنها خونریزی مختصری در تیمار BaP ۲۰۰ mg/kg مشاهده شد (شکل ۲). در این روز ضایعات هیستوپاتولوژیک شامل خونریزی و به هم ریختگی شدید بافتی در تیمار باکتری و تیمارهای ترکیبی مشهود بود (شکل ۲). در مجموع در تمامی روزهای نمونه‌برداری تنوع و وسعت ضایعات مشاهده شده تابع الگوی زیر بود:

Vibrio+high BaP > *Vibrio+low BaP* > BaP ۲۰۰ mg/kg > BaP ۲۰ mg/kg

همین دلیل ملانوماکروفازها به عنوان شاخصی برای کیفیت آب از سنجش تاثیر آلوگی‌ها و یا کمبود اکسیژنی مطرح هستند، چرا که اندازه یا فراوانی ملانوماکروفازها در شرایط محیطی تنفس زا افزایش می‌یابد (Aguis and Roberts, 2003).

Osman و همکاران (۲۰۰۹)، گزارش نمودند که ۲ تا ۶ هفته

پس از تیمار ماهی *Oreochromis niloticus* با فلز مس ضایعاتی نظیر احتقان، افزایش تعداد فولیکول‌های لغنوئیدی، افزایش مراکز ملانوماکروفازی و نکروز انعقادی کانونی در سراسر پارانشیم طحال و راس کلیه مشاهده شد (Osman et al., 2009). این محققین وجود احتقان و پرخونی سیاهرگ‌های این بافت‌ها را به دلیل افزایش خون‌رسانی طحال پس از مواجهه با تشی بیان نمودند. همچنین گزارش نمودند شکسته شدن تعداد زیادی از سلول‌های خونی قرمز منجر به افزایش مراکز ملانوماکروفازی می‌شود. عوامل عفونی و غیرعفونی قادرند تعداد لغنوسیت‌ها، توانایی زنده ماندن و شاخص بافتی اندام‌های اینمی در ماهیان را تحت تاثیر قرار دهند (Arunkumar et al., 2000).

منابع

دیری، م.، ۱۳۷۹. آلوگی محیط‌یست (هو- آب- خاک- صوت). نشر اتحاد، تهران، صفحه ۳۹۹.

سلطانی، م.، ۱۳۷۵. بیماری‌های باکتریایی ماهی. انتشارات سازمان دامپزشکی کشور با همکاری موسسه نشر جهاد وابسته به جهاد کشاورزی، صفحات ۲۲۱-۲۳۲.

موحدی‌نیا، ع؛ سواری، ا؛ سلطانی، ا.، ۱۳۹۱. سازگاری‌های فراساختاری آبیشش ماهی شانک زردباله (*Acanthopagrus latus*) تحت شرایط اسمزی مختلف. مجله تحقیقات دامپزشکی، ۶۷: ۱۶۵-۱۷۴.

نوروزی، ن؛ سلامات، ن؛ اسکندری، غ؛ موسوی، م.، ۱۳۹۳. پاسخ‌های بافتی کبد ماهی هامور معمولی *Epinephelus cooides* در نتیجه قرار گرفتن کوتاه مدت در معرض ترکیبی از بنزوآلفاپایرن و باکتری *Vibrio alginolyticus*. نشریه اقیانوس‌شناسی، ۱۹: ۱۱-۲۰.

Aas, E.; Beyer, J.; Goksoyr, A., 2000. Fixed wavelength fluorescence (FF) of bile as a monitoring tool for polyaromatic hydrocarbon exposure in fish: an evaluation of compound specificity, inner filter effect and signal interpretation. Biomarkers, 5 (1): 9-23.

بعد از ۴ روز به خاطر افزایش بیوتربنوفورماسیون آن‌ها و تبدیل آن‌ها به متابولیت‌هایشان است (Aas et al., 2000). این محققین گزارش نمودند که میزان PAH‌ها بعد از یک هفته کاملاً کاهش یافت که این مطلب نشانگر توانایی بالای ماهیان در دفع این ترکیبات است.

از سوی دیگر، آسیب بافتی در ماهیان تیمار شده با باکتری تا روز هفتم آزمایش به حداقل میزان خود رسیده و پس از آن رو به کاهش و بهبود بافتی گذاشت. دوره بیماری‌زایی باکتری ۶ تا ۷ روز بوده و پس از آن دوره بیماری‌زایی باکتری به اتمام می‌رسد.

همچنین افزایش آسیب‌های بافتی در تیمارهای ترکیبی تا روز هفتم قابل مشاهده بود و از سوی دیگر وسعت آسیب‌های بافتی در این تیمارها بیش از سایر تیمارها بود. در مطالعه Arkoosh و همکاران (۲۰۰۱) نیز افزایش حساسیت ماهیان آزاد قرار گرفته در معرض آلینده‌ها نسبت به پاتوژن‌های باکتریایی مشاهده گردید. به اعتقاد این محققین اثرات آلینده‌های شیمیایی بر قابلیت اینمی و حساسیت پذیری در مقابل بیماری‌ها قبل انکار نیست (Altinok and Capkin, 2008). این محققین دریافتند که پاسخ اینمی مهار شده در ماهیان اکسپوز شده با آلینده‌ها نسبت به آنتی ژن‌های اختصاصی، منجر به افزایش مرگ و میر ماهیان در مواجهه با باکتری *V. anguillarum* در محیط طبیعی می‌شود.

Suresh (2009) بیان کرد که تغییرات مراکز ملانوماکروفازی موجود در بافت‌ها می‌توانند به عنوان شاخص تنش القا شده توسط آلاینده‌های مختلف در محیط‌های آبی مورد بررسی قرار گیرند (Romano et al., 2002). مراکز ملانوماکروفازی مشاهده شده در بافت‌های ماهیان تیمار شده با BaP، باکتری و یا هر دو تنشور در مطالعه حاضر ارتباط زیادی با خونریزی و تخریب سلول‌های خونی قرمز در آنها داشت. در نتیجه القای تنش، میزان خون‌رسانی به بافت افزایش یافته و حجم زیاد خون منجر به شکستن برخی گلbul‌های قرمز خونی در نتیجه برخورد با یکدیگر و یا با دیواره رگ می‌شود. با تخریب این سلول‌ها، هموگلوبین نیز تجزیه شده و به دو بخش هم (حاوی آهن) و گلوبین تبدیل می‌شود (نوروزی و همکاران، ۱۳۹۳). هم در بافت به عنوان یک ماده اگزوزن توسط مراکروفازها شناسایی شده و بلعیده می‌شود. با بلعیدن هم، مراکروفازها به رنگ تیره (سیاه) دیده می‌شوند (Romano et al., 2002). مراکز ملانوماکروفازی در حالت طبیعی نیز در بافت‌های خونساز کلیه و طحال وجود دارند، ولی گاهی در نتیجه عوامل و جراحات مزمن توسعه می‌یابند. به

- Osman, M.M.; EL-Fiky, S.A.; Soheir, Y.M.; Abeer, A.I., 2009. Impact of Water Pollution on Histopathological and Electrophoretic Characters of *Oreochromis niloticus*. Fish Pathology, 17: 34-102.
- Prosser, M.; Michael, A.; Wolfgang, K., 2011. Multistressor interactions in the zebrafish: Concurrent phenanthrene exposure and *Mycobacterium marinum* infection. Aquatic Toxicology, 102: 177-185.
- Reynaud, S.; Deschaux, P., 2006. The effects of polycyclic aromatic hydrocarbons on the immune system of fish: a review. Aquatic Toxicology, 77: 229-238.
- Romano, N.; Ceccariglia, S.; Mastrolia, L.; Mazzini, M., 2002. Cytology of lymphomyeloid head kidney of Antarctic fishes *Trematomus bernacchii* (Nototheniidae) and *Chionodraco hamatus* (Channichthyidae). Tissue and Cell, 34: 63-72.
- Suresh, N., 2009. Effect of benzo[alpha]pyrene on liver, spleen and kidney melanomacrophage centers in tilapia *mossambica*. Journal of Environmental Biology, 30(4): 505-508.
- Yin, Y.; Fu, W.; Fu, M.; He, G.; Traore, L., 2007. The immune effects of edible fungus polysaccharides compounds in mice. Asian Pacific Journal of Clinical Nutrition, 16: 258-60.
- Agius, C.; Roberts, R.J., 2003. Melano-macrophage centers and their role in fish pathology. Journal of Fish Disease, 26: 499-509.
- Altinok, I.; Capkin, E., 2008. Histopathology of rainbow trout exposed to sublethal concentrations of methiocarb or endosulfan. Review Aquatic Science, 4: 210-223.
- Anderson, D.P.; Zeeman, M.F.G., 1995. Immunotoxicology in fish[M]. In: Fundamentals of aquatic toxicology: Environmental fate, and risk assessment (Rand G., ed.). Washington: Taylor and Francis, 79: 371-404.
- Arkoosh, M.; Clemons, E.; Huffman, P.; Kagley, A., 2001. Increased susceptibility of juvenile *Chinook salmon* to vibriosis after exposure to chlorinated and aromatic compounds found in contaminated urban estuaries. Journal of Aquatic Animal Health, 13: 257-268.
- Arunkumar, R.I.; Rajasekaran, P.; Michael, R.D., 2000. Differential effect of chromium compounds on the immune response of the African mouth breeder *Oreochromis mossambicus* (Peters). Fish and Shellfish Immunology, 10: 667-676.
- Campanelli, A.; Sanchez-Politta, S.; Saurat, J.H., 2008. Cutaneous ulceration after an octopus bite: infection due to *Vibrio alginolyticus*, an emerging pathogen. Annual of Dermatology and Venereology, 135: 225-227.